

Starkniederschlagshöhen und -spenden gemäß KOSTRA-DWD-2010R

Auswertungszeitraum von 1951 - 2010, Januar - Dezember

Rasterfeld: 82048

Zeile: 82

Spalte: 48

Seite: 1/2

| Dauerstufe D | Wiederkehrzeit T | | | | | | | | | | | | | | | | | | |
|--------------|------------------|------|------------|------|------------|------|------------|------|------------|------|------------|------|------------|------|------------|-------|------------|-------|------------|
| | 1 a | | 2 a | | 3 a | | 5 a | | 10 a | | 20 a | | 30 a | | 50 a | | 100 a | | |
| min | Std | mm | l / (s ha) | mm | l / (s ha) | mm | l / (s ha) | mm | l / (s ha) | mm | l / (s ha) | mm | l / (s ha) | mm | l / (s ha) | mm | l / (s ha) | mm | l / (s ha) |
| 5 | | 5,1 | 170,0 | 6,7 | 223,3 | 7,7 | 256,7 | 8,9 | 296,7 | 10,5 | 350,0 | 12,1 | 403,3 | 13,1 | 436,7 | 14,3 | 476,7 | 15,9 | 530,0 |
| 10 | | 8,1 | 135,0 | 10,4 | 173,3 | 11,7 | 195,0 | 13,4 | 223,3 | 15,7 | 261,7 | 18,0 | 300,0 | 19,3 | 321,7 | 21,0 | 350,0 | 23,3 | 388,3 |
| 15 | | 10,0 | 111,1 | 12,8 | 142,2 | 14,5 | 161,1 | 16,5 | 183,3 | 19,4 | 215,6 | 22,2 | 246,7 | 23,8 | 264,4 | 25,9 | 287,8 | 28,7 | 318,9 |
| 20 | | 11,4 | 95,0 | 14,6 | 121,7 | 16,5 | 137,5 | 18,9 | 157,5 | 22,2 | 185,0 | 25,4 | 211,7 | 27,3 | 227,5 | 29,7 | 247,5 | 32,9 | 274,2 |
| 30 | | 13,2 | 73,3 | 17,2 | 95,6 | 19,5 | 108,3 | 22,4 | 124,4 | 26,4 | 146,7 | 30,4 | 168,9 | 32,7 | 181,7 | 35,6 | 197,8 | 39,6 | 220,0 |
| 45 | | 14,8 | 54,8 | 19,6 | 72,6 | 22,5 | 83,3 | 26,0 | 96,3 | 30,9 | 114,4 | 35,7 | 132,2 | 38,6 | 143,0 | 42,2 | 156,3 | 47,0 | 174,1 |
| 60 | | 15,7 | 43,6 | 21,3 | 59,2 | 24,6 | 68,3 | 28,7 | 79,7 | 34,3 | 95,3 | 39,9 | 110,8 | 43,2 | 120,0 | 47,3 | 131,4 | 52,9 | 146,9 |
| 90 | | 17,3 | 32,0 | 23,0 | 42,6 | 26,4 | 48,9 | 30,6 | 56,7 | 36,3 | 67,2 | 42,0 | 77,8 | 45,3 | 83,9 | 49,5 | 91,7 | 55,2 | 102,2 |
| 120 | 2 | 18,6 | 25,8 | 24,4 | 33,9 | 27,7 | 38,5 | 32,0 | 44,4 | 37,8 | 52,5 | 43,6 | 60,6 | 46,9 | 65,1 | 51,2 | 71,1 | 57,0 | 79,2 |
| 180 | 3 | 20,5 | 19,0 | 26,4 | 24,4 | 29,8 | 27,6 | 34,2 | 31,7 | 40,1 | 37,1 | 45,9 | 42,5 | 49,4 | 45,7 | 53,7 | 49,7 | 59,6 | 55,2 |
| 240 | 4 | 22,0 | 15,3 | 27,9 | 19,4 | 31,4 | 21,8 | 35,8 | 24,9 | 41,8 | 29,0 | 47,8 | 33,2 | 51,3 | 35,6 | 55,7 | 38,7 | 61,6 | 42,8 |
| 360 | 6 | 24,2 | 11,2 | 30,3 | 14,0 | 33,9 | 15,7 | 38,4 | 17,8 | 44,4 | 20,6 | 50,5 | 23,4 | 54,1 | 25,0 | 58,6 | 27,1 | 64,7 | 30,0 |
| 540 | 9 | 26,7 | 8,2 | 32,9 | 10,2 | 36,6 | 11,3 | 41,1 | 12,7 | 47,3 | 14,6 | 53,5 | 16,5 | 57,1 | 17,6 | 61,7 | 19,0 | 67,9 | 21,0 |
| 720 | 12 | 28,7 | 6,6 | 34,9 | 8,1 | 38,6 | 8,9 | 43,2 | 10,0 | 49,5 | 11,5 | 55,8 | 12,9 | 59,5 | 13,8 | 64,1 | 14,8 | 70,4 | 16,3 |
| 1080 | 18 | 31,6 | 4,9 | 38,0 | 5,9 | 41,8 | 6,5 | 46,5 | 7,2 | 52,9 | 8,2 | 59,3 | 9,2 | 63,0 | 9,7 | 67,7 | 10,4 | 74,1 | 11,4 |
| 1440 | 24 | 33,9 | 3,9 | 40,4 | 4,7 | 44,2 | 5,1 | 49,0 | 5,7 | 55,5 | 6,4 | 61,9 | 7,2 | 65,7 | 7,6 | 70,5 | 8,2 | 77,0 | 8,9 |
| 2880 | 48 | 43,1 | 2,5 | 51,8 | 3,0 | 56,9 | 3,3 | 63,3 | 3,7 | 72,0 | 4,2 | 80,7 | 4,7 | 85,8 | 5,0 | 92,3 | 5,3 | 101,0 | 5,8 |
| 4320 | 72 | 49,6 | 1,9 | 59,6 | 2,3 | 65,5 | 2,5 | 72,8 | 2,8 | 82,9 | 3,2 | 92,9 | 3,6 | 98,7 | 3,8 | 106,1 | 4,1 | 116,1 | 4,5 |

Angaben in mm: Bemessungsniederschlagswerte h(n)

Angaben in l / (s ha): Regenspende R(n) mit $R(n) = h(n) \times 1,666667 / D[\text{min}]$

Toleranzbereiche:

+/- 10 % für $1 \text{ a} \leq T \leq 5 \text{ a}$

+/- 15 % für $5 \text{ a} < T \leq 50 \text{ a}$

+/- 20 % für $50 \text{ a} < T \leq 100 \text{ a}$

Datenbasis: KOSTRA-DWD-2010R des Deutschen Wetterdienstes. Die Regenspende wurde auf Basis des Bemessungsniederschlags zur jeweiligen Andauer berechnet.

Für die Richtigkeit und Aktualität der Angaben wird keine Gewähr übernommen. Erstellt 07/2022.

Starkniederschlagshöhen und -spenden gemäß KOSTRA-DWD-2010R

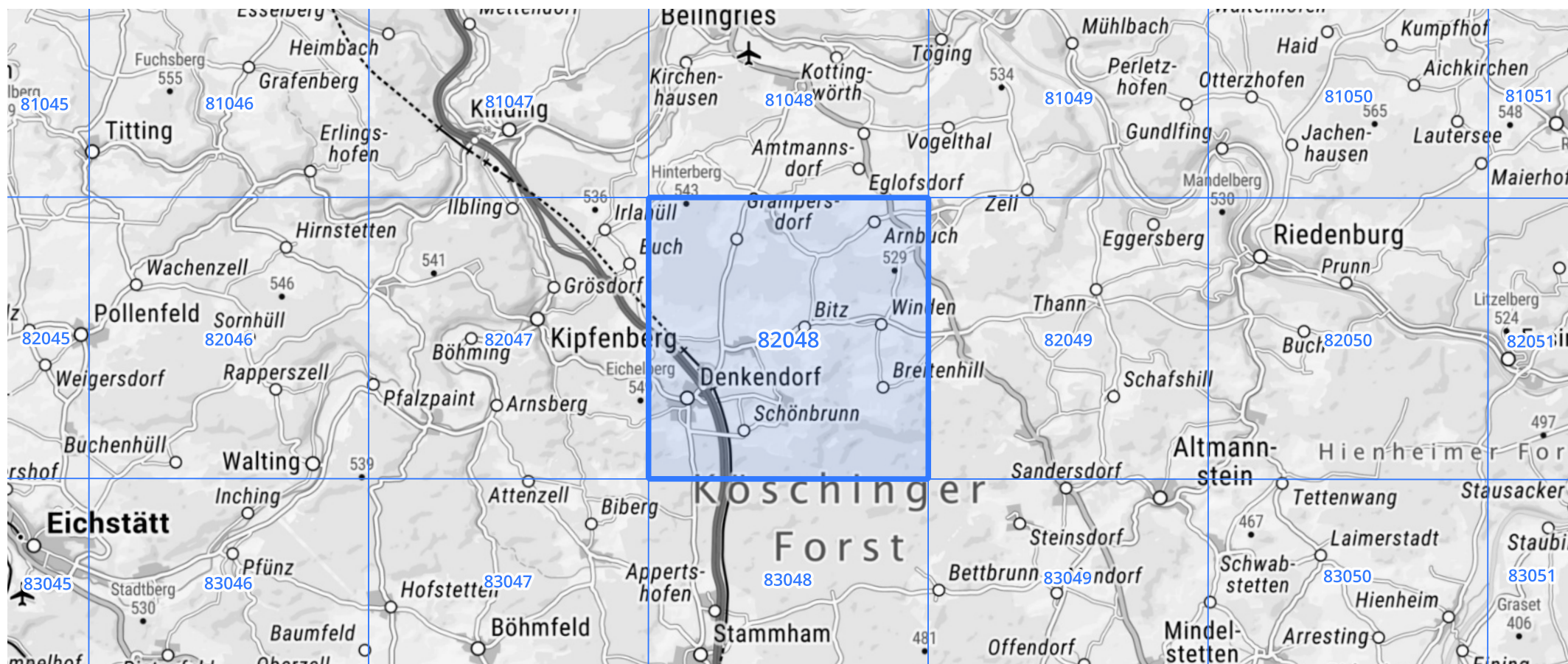
Auswertungszeitraum von 1951 - 2010, Januar - Dezember

Rasterfeld: 82048

Zeile: 82

Spalte: 48

Seite: 2/2



Quelle Rasterdaten: KOSTRA-DWD-2010R des Deutschen Wetterdienstes.

Kartendarstellung: © Bundesamt für Kartographie und Geodäsie (2022), Datenquellen: https://sgx.geodatenzentrum.de/web_public/gdz/datenquellen/Datenquellen_TopPlusOpen.html

Für die Richtigkeit und Aktualität der Angaben wird keine Gewähr übernommen. Erstellt 07/2022.